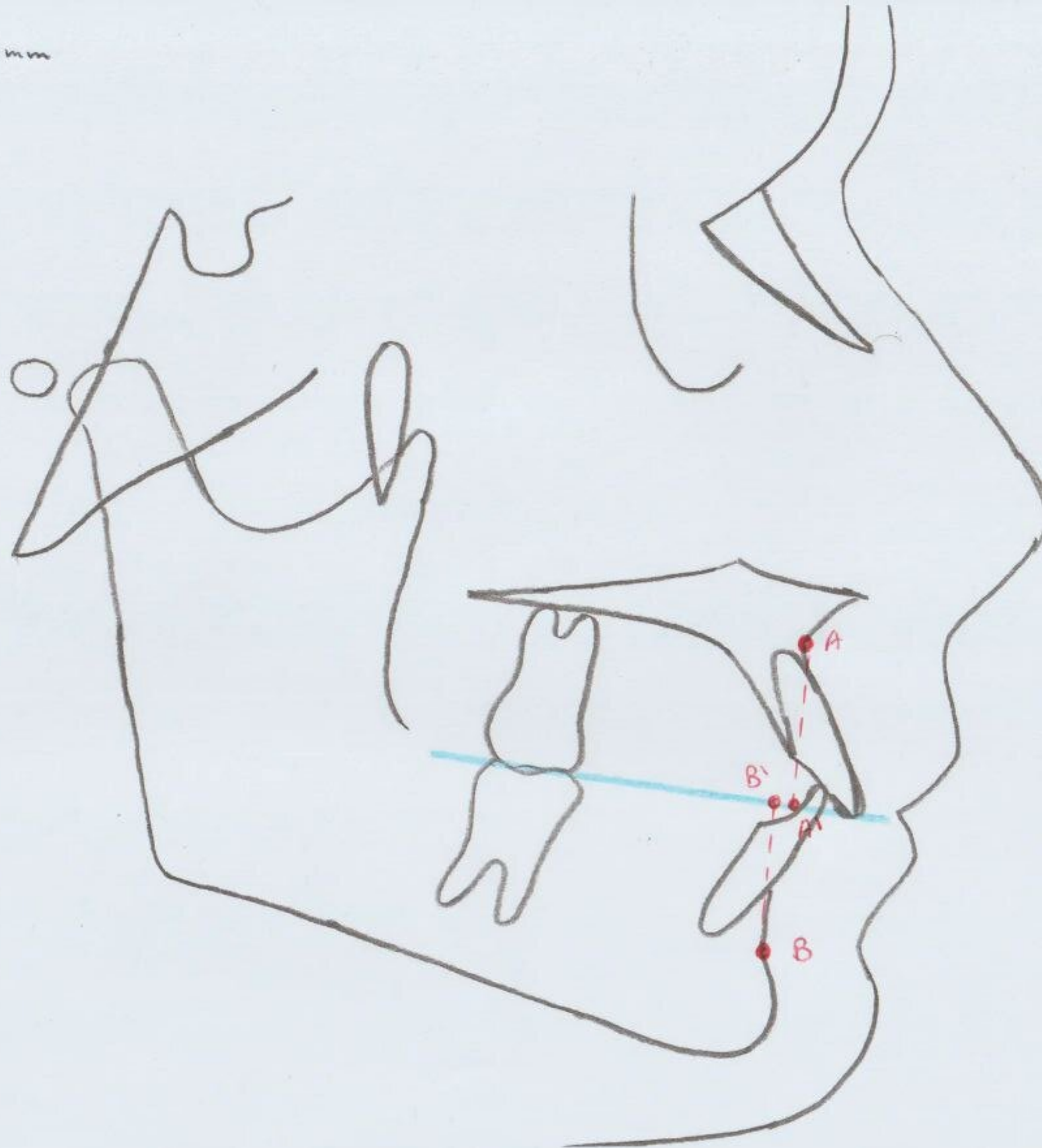


$$[A'B] = 1\text{mm} \pm 2\text{mm}$$

Analyse de Hellegru

Wits de Jacobsson.



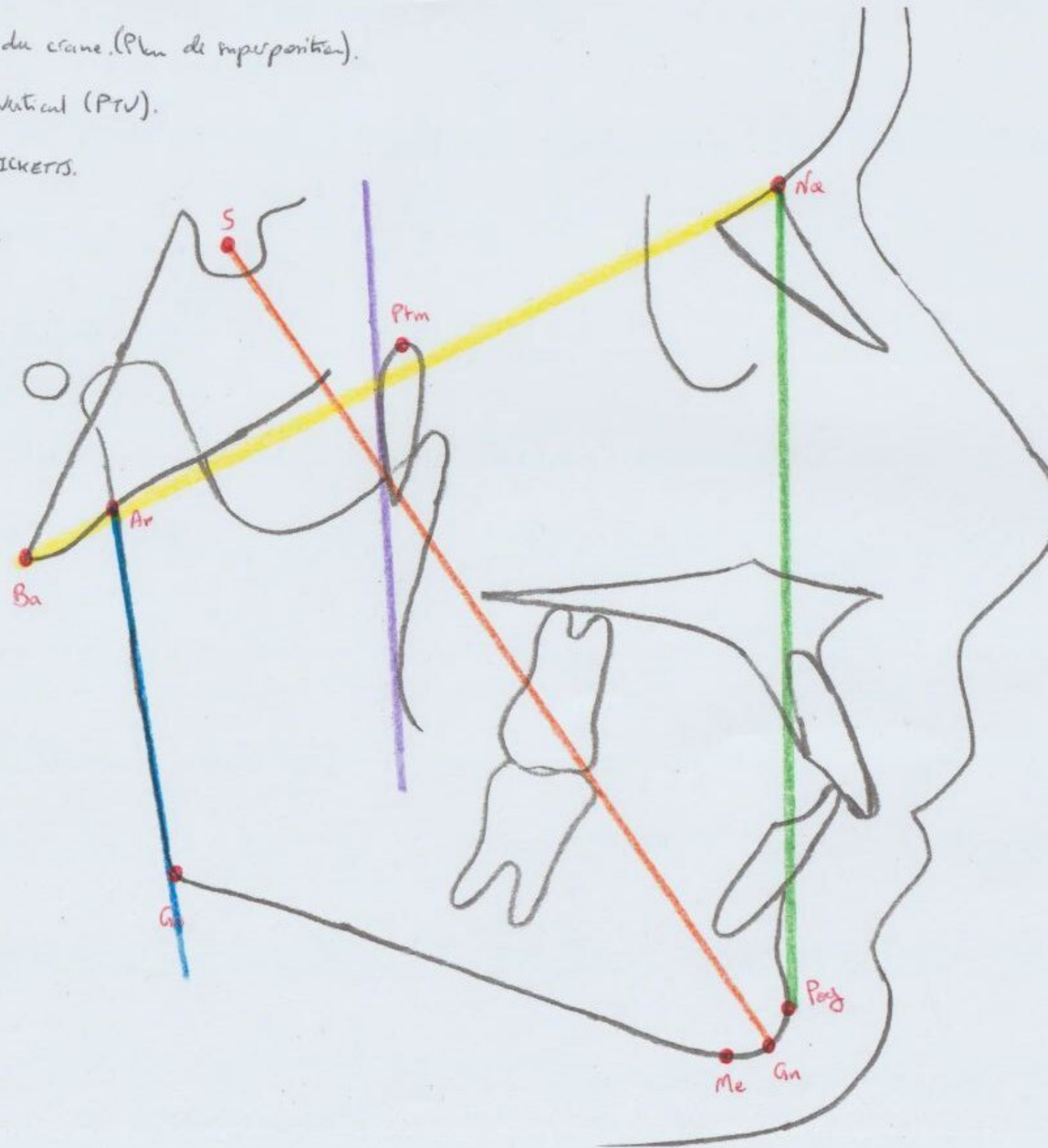
Plan de la base du crâne (Plan de superposition).

Plan pterygoïden vertical (PTV).

Plan frontal de RICKETTS.

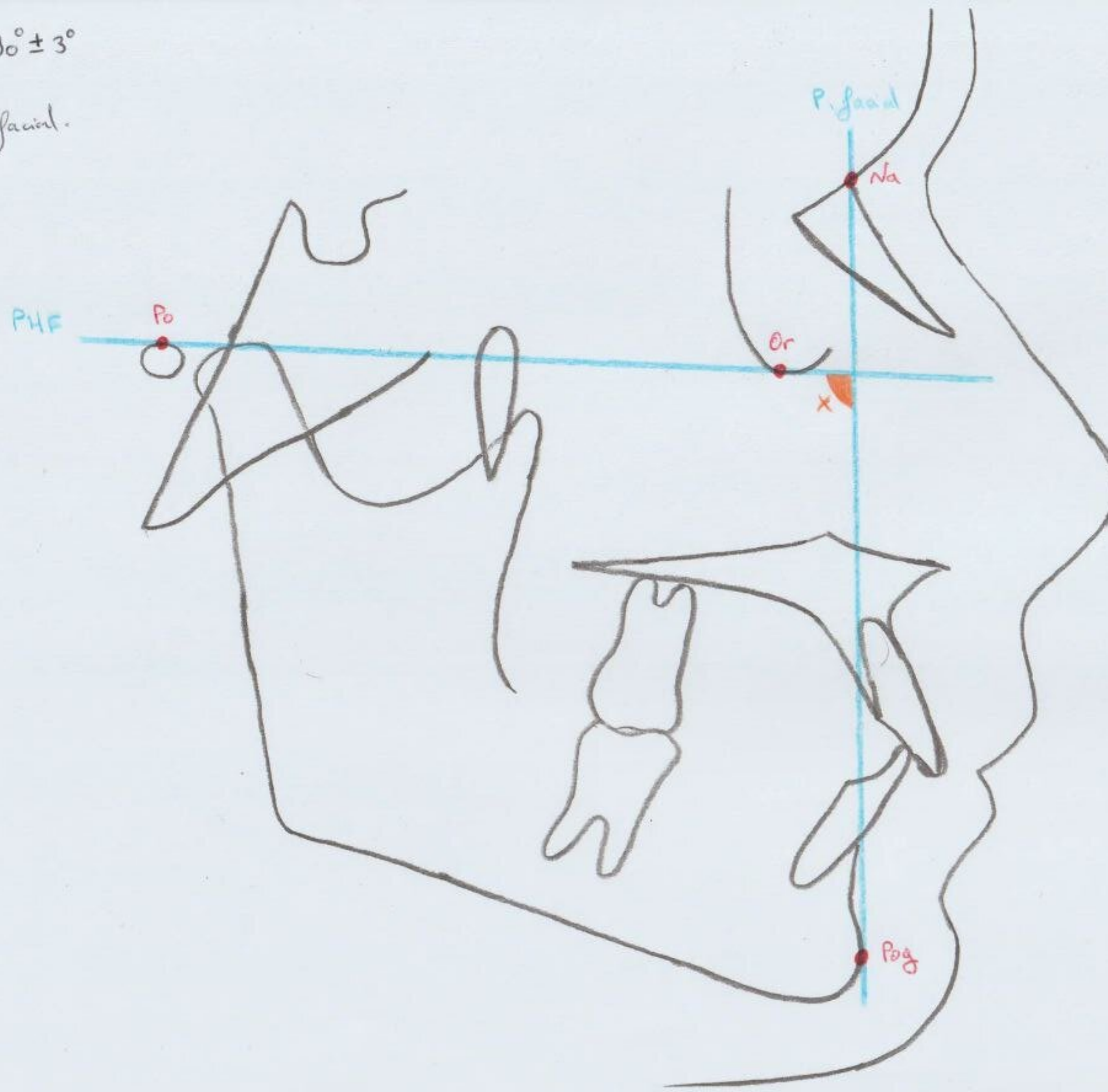
Axe Y de BRODIE.

Plan ramal



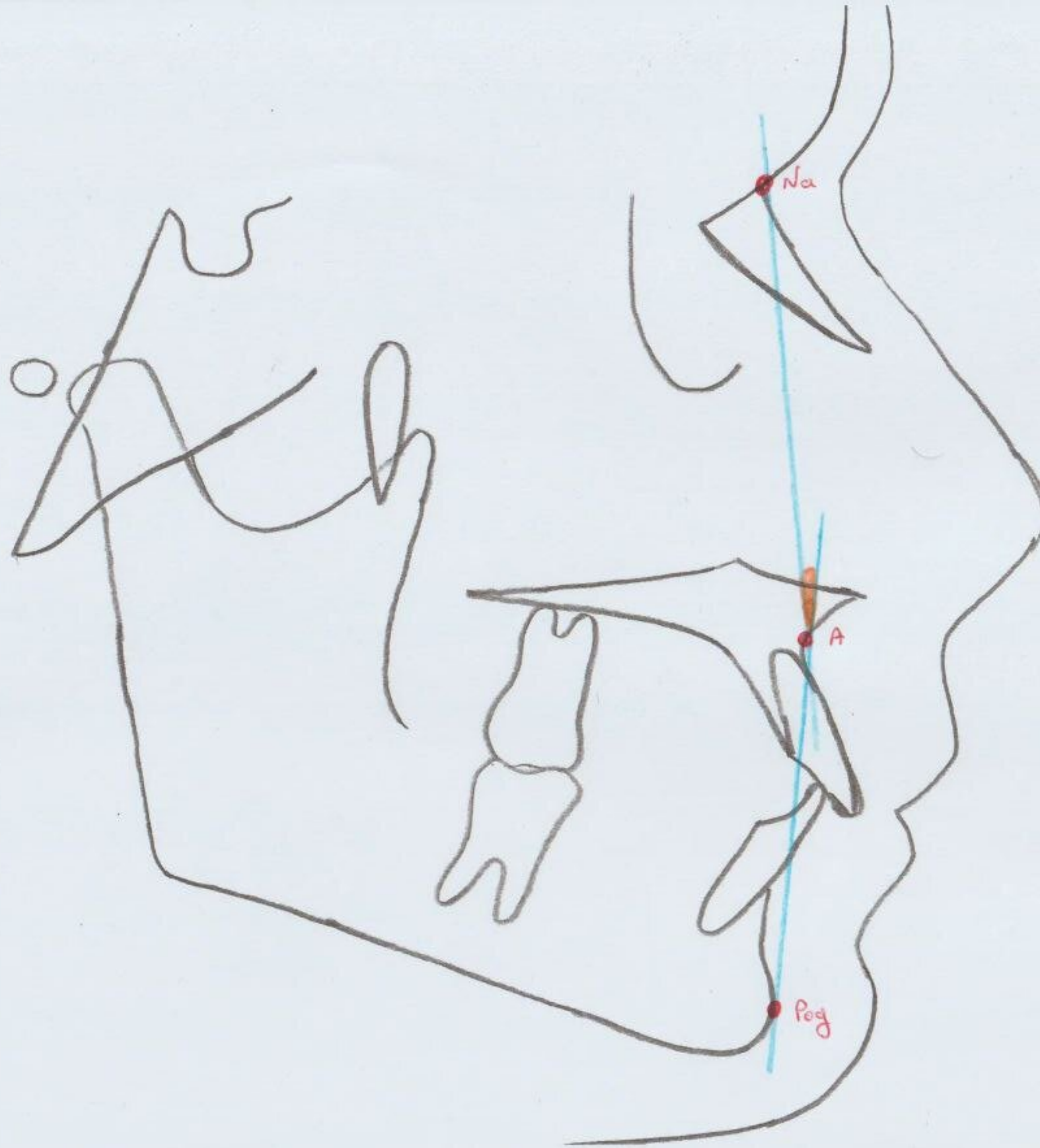
$$\hat{x} = 90^\circ \pm 3^\circ$$

L'angle facial.



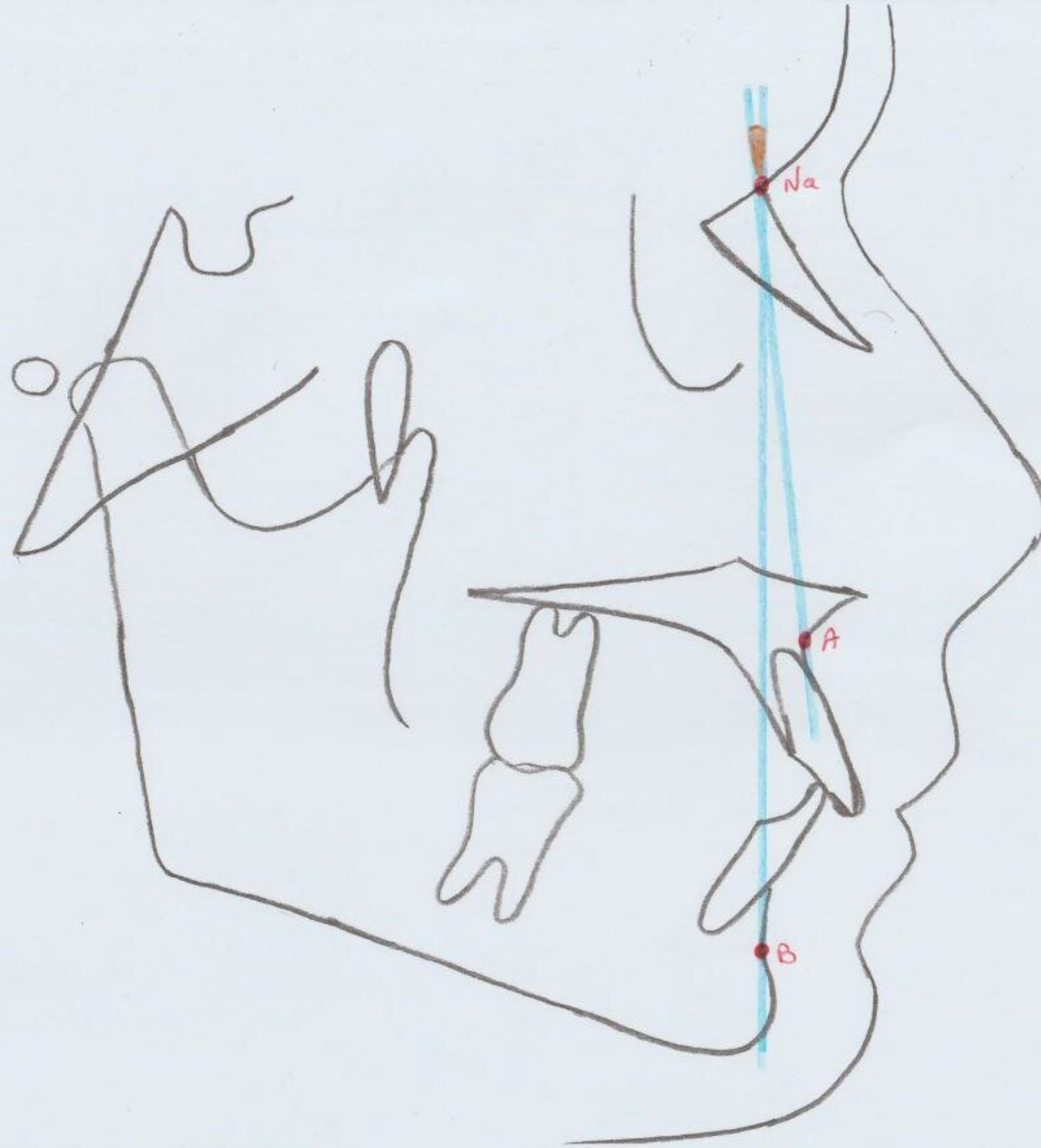
$$\hat{x}^{\alpha} = 6^\circ \pm 5^\circ$$

L'angle de courbure.



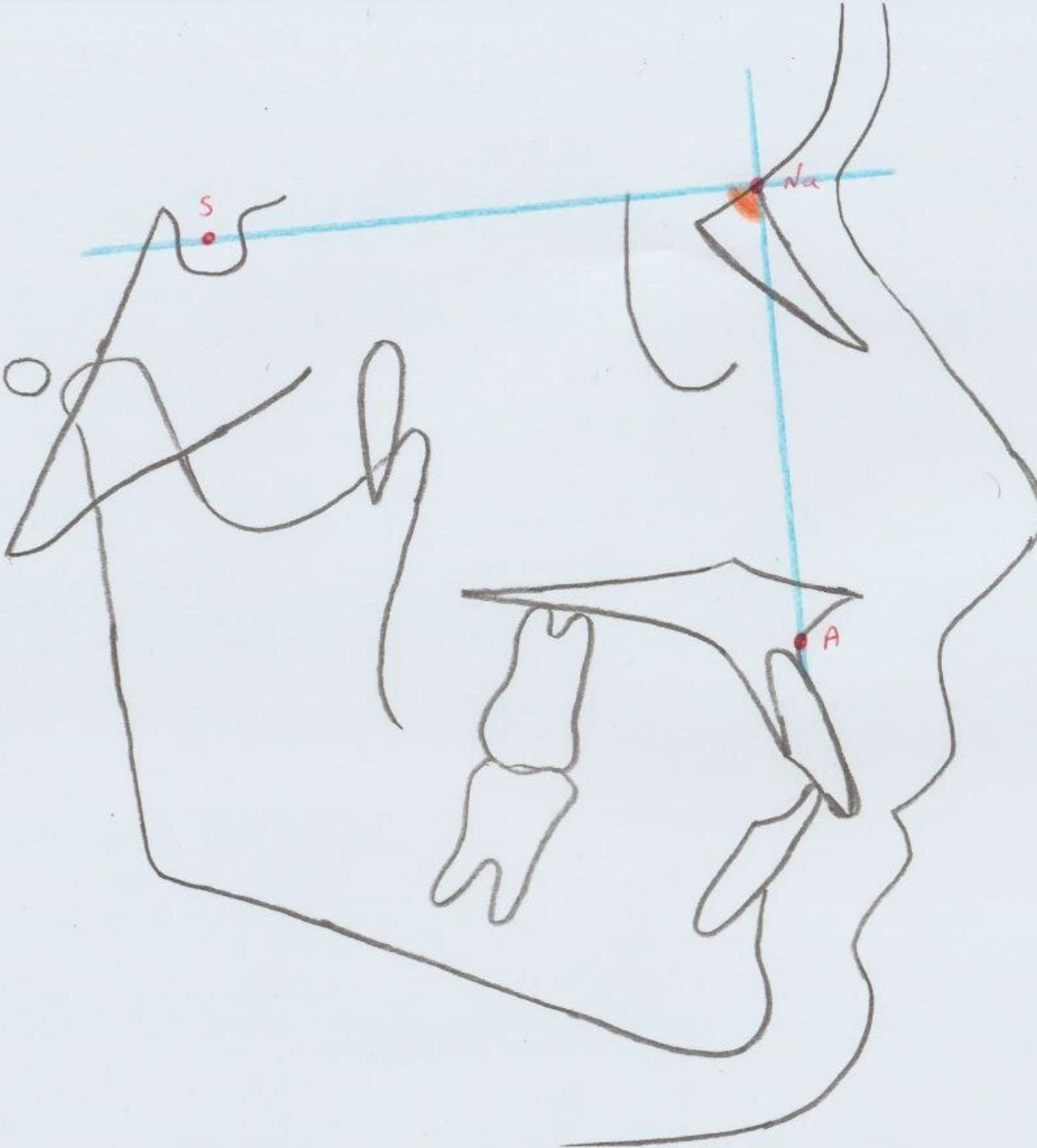
$$\hat{x} = 3^\circ \pm 1^\circ$$

Angle AxB.



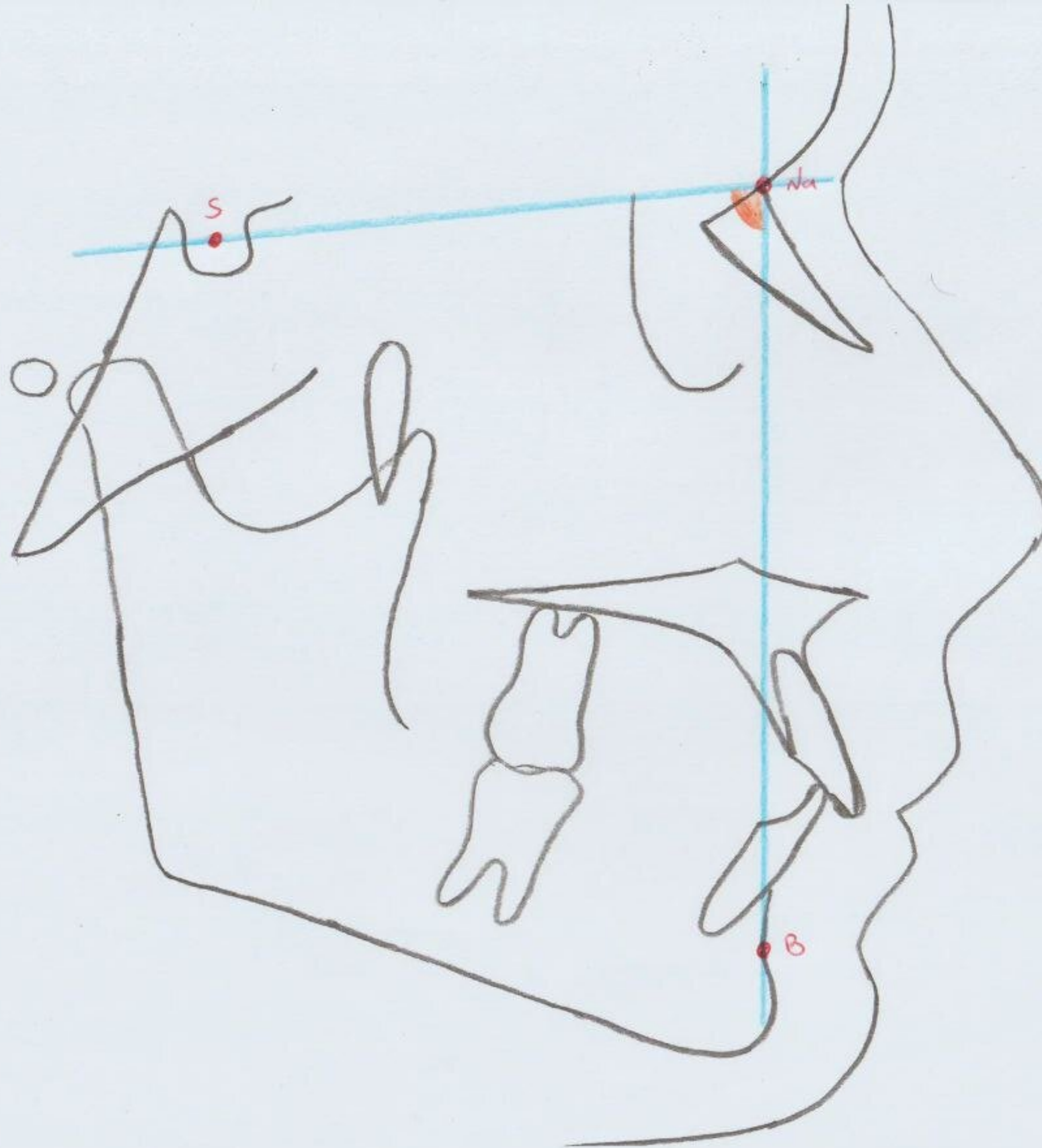
$$\hat{X} = 83^\circ \pm 3^\circ$$

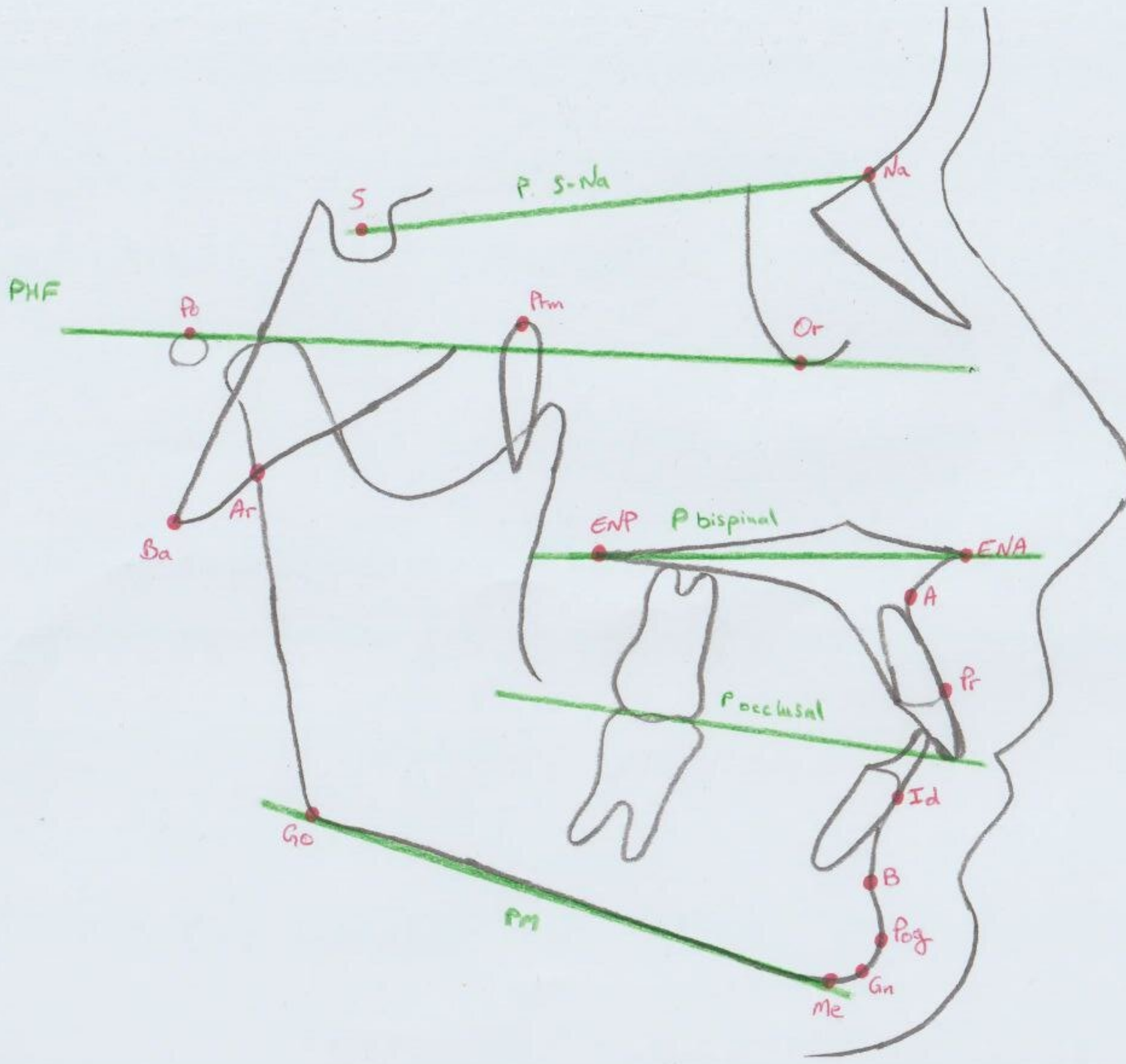
Angle SNA.



$$\hat{x} = 80^\circ \pm 3^\circ$$

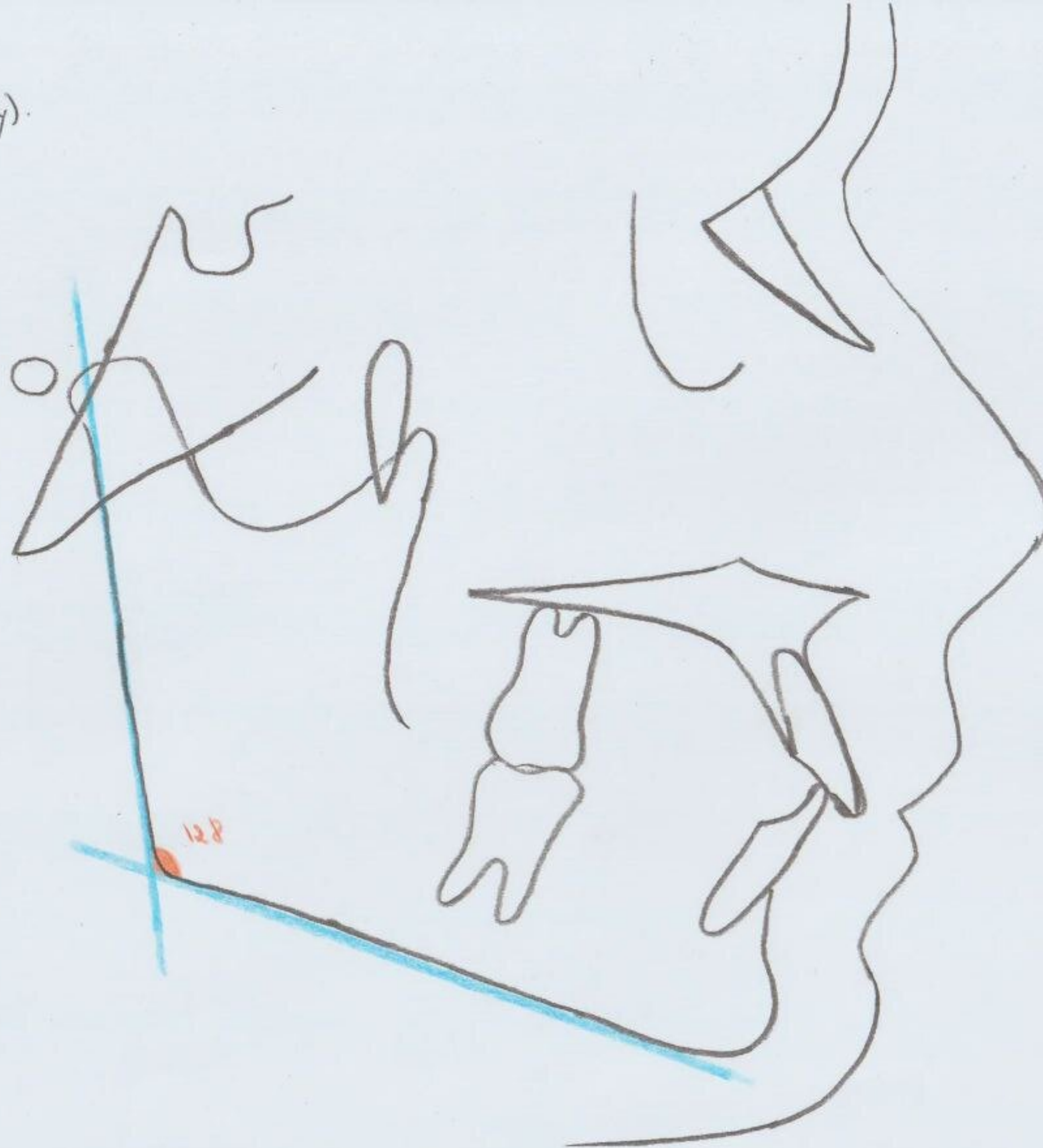
Angle SNB.





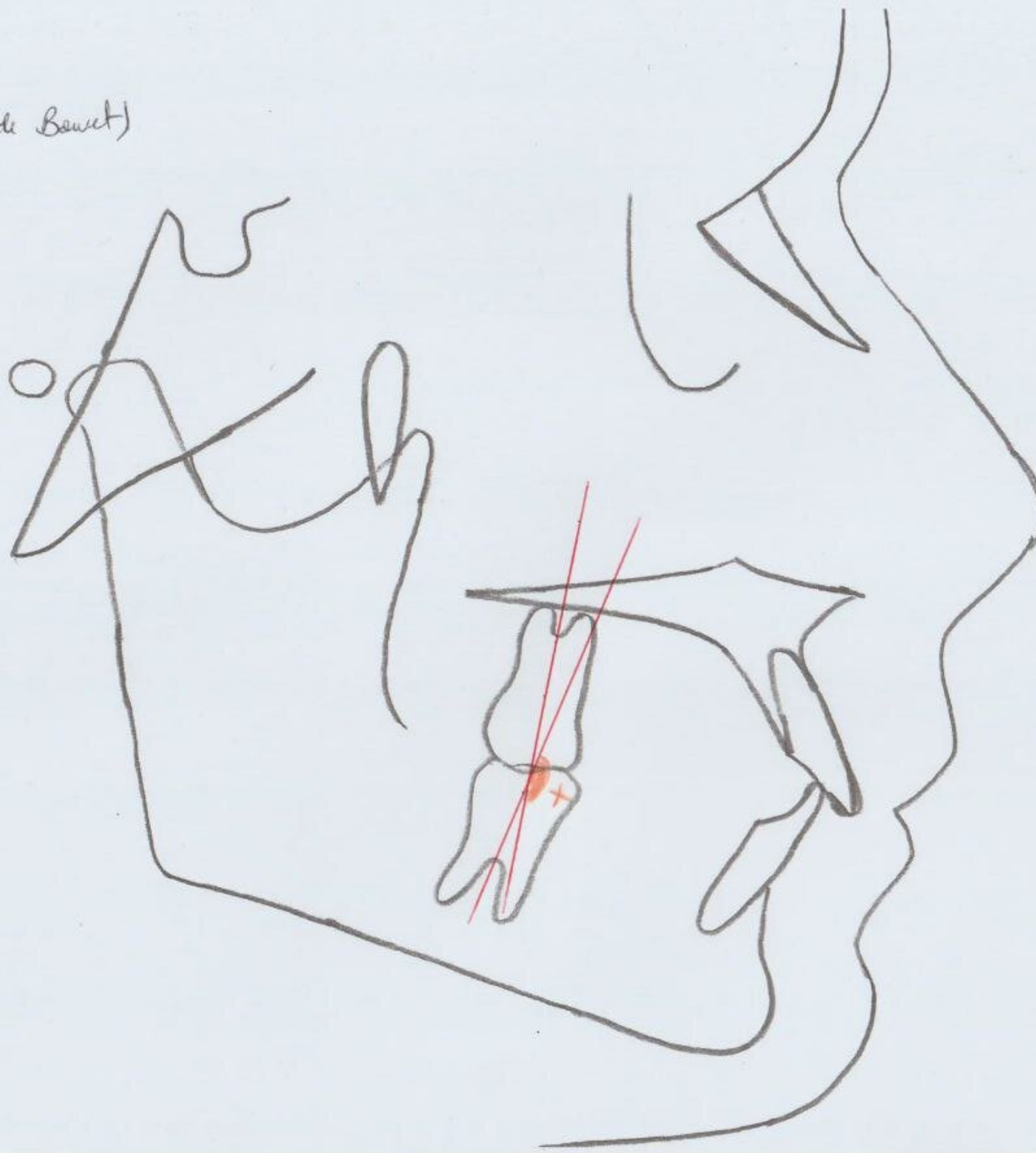
$$\hat{x} = 128^\circ \pm 6^\circ$$

Angle gominaux (Shandy).



$$\alpha = 180^\circ \pm 5^\circ$$

Angle gamma (Etude de Bewet)

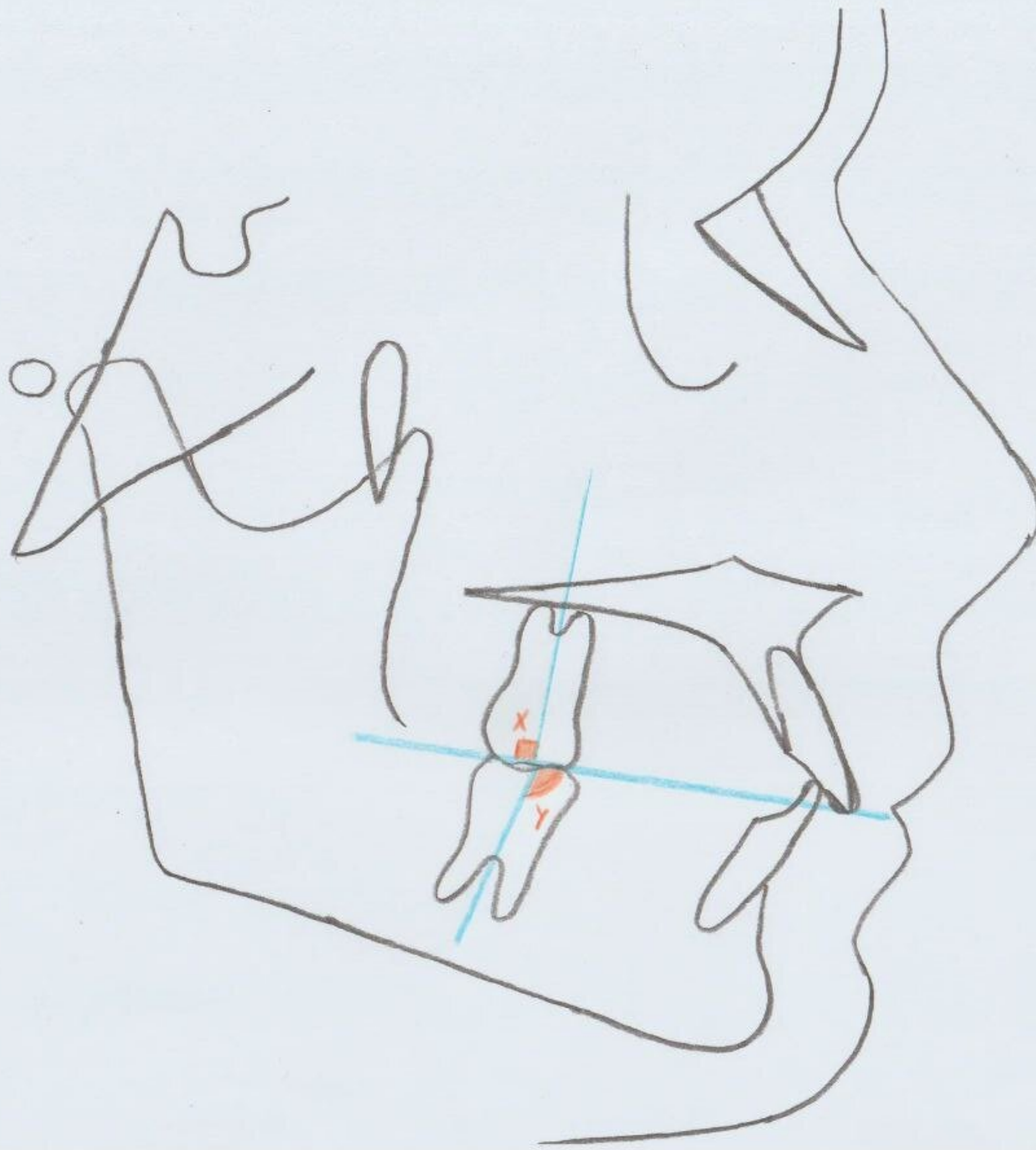


$$\hat{x} = 95^\circ \pm 3^\circ$$

$$\hat{y} = 65^\circ \pm 3^\circ$$

Angles α et β

Etude de Boulet

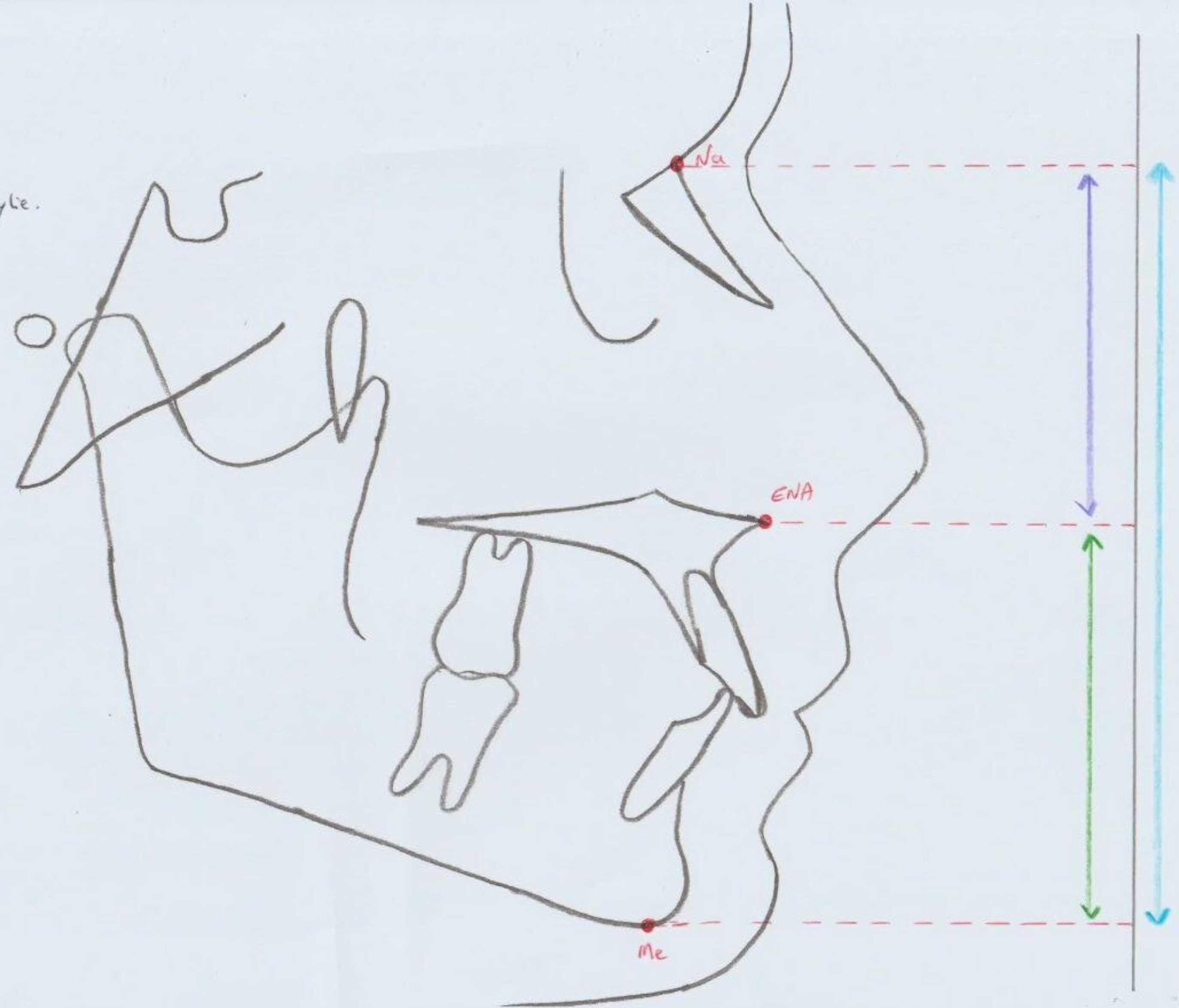


100 %

14,5 % ± 2 %

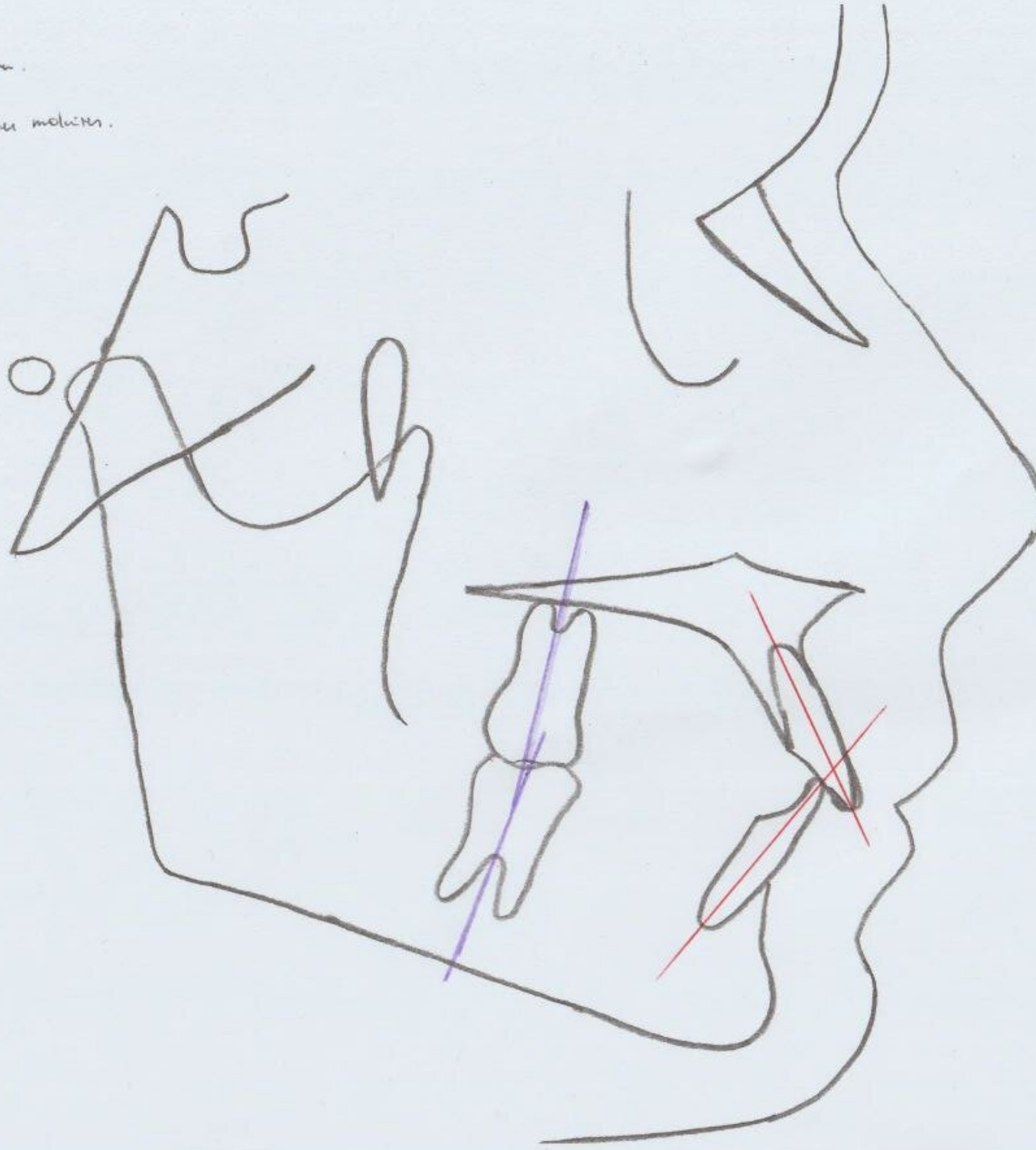
45,5 % ± 2 %

Analyse de Wendell Wylie.



Axe des incisives.

Axe des premières molaires.

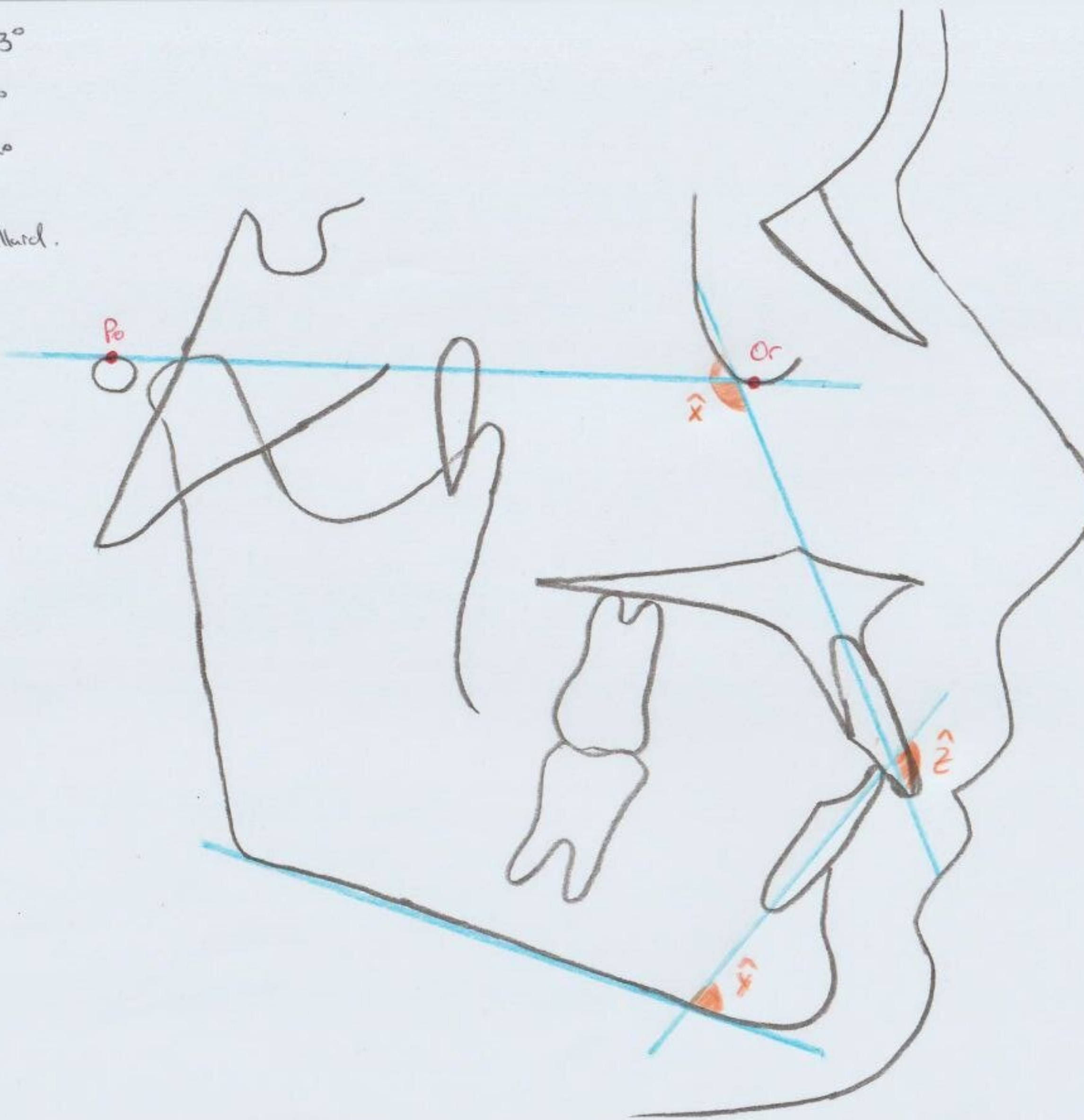


$$\hat{x} = 10^\circ \pm 3^\circ$$

$$\hat{y} = 95^\circ \pm 3^\circ$$

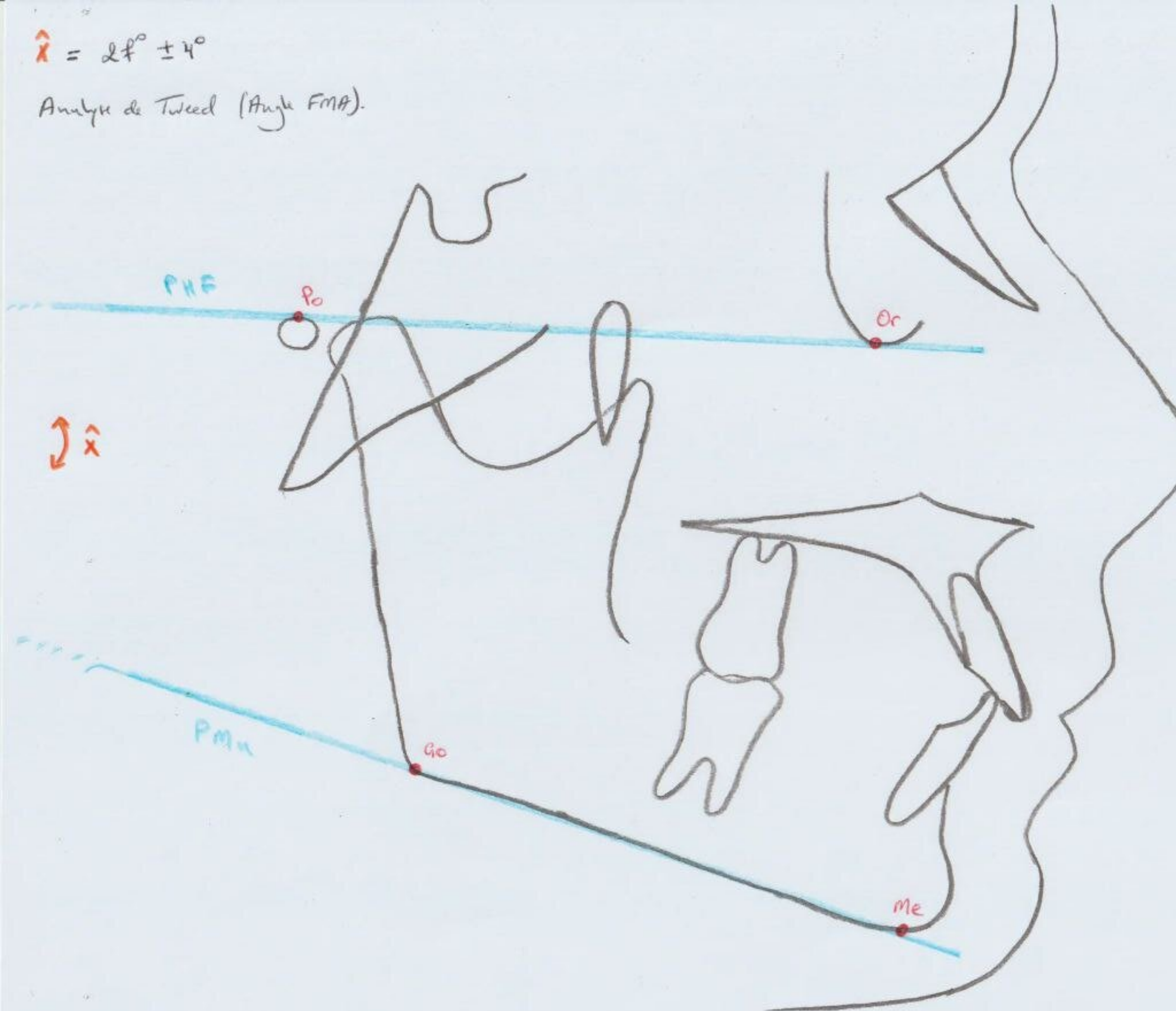
$$\hat{z} = 135^\circ \pm 1^\circ$$

Analyses de Ballard.



$$\hat{x} = 2f^\circ \pm 4^\circ$$

Analyse de Tweed (Angle FMA).



$$\hat{X} = 19^\circ \pm 3^\circ$$

Axe Y de Brodie.

